

極小モデルと退化

阪大 角田秀一郎

§1. はじめに, 1981年城ノ山奇ニホミツムにおける筆者の拙文に誤りがありましたので, 訂正させていただきます.

非特異射影多様体 X と非特異曲線 Δ との間の全射 $\pi: X \rightarrow \Delta$ で次の条件を満たすものを考えます:

(i) $\pi^{-1}(P)$ は, reduced で連結, かつ単純正則交叉, $\pi^{-1}(P)$ は Δ の任意の点,

(ii) $\pi^{-1}(P)$ の非特異部分 $\pi^{-1}(P)$ の標準因子 $K(\pi^{-1}(P))$ は nef.

この条件のもとで, 結論は次の通り.

定理. 正規射影多様体 X と双有理写像

$\varphi: X \rightarrow Y$ があって

(i) $\pi := \pi \circ \varphi^{-1}$ は正則写像,

(ii) φ は特異ファイバーの外で同型,

(iii) Y は高々 terminal 特異点 (定義については, 本報告集川又氏の論文参照),

(iv) $K(Y)$ は π^{-1} に関して, 相対的 nef.

前の拙著に於いて, Y が満たすべき特異点の範囲についていた. これから, この特異点について説明します.

このため, 2つの概念を導入します (実は本質的に同じもので).

定義1. $\pi: X \rightarrow \Delta$ は前の通りとします. 双有理写像の列

$$X = Y_n \xrightarrow{f_n} Y_{n-1} \xrightarrow{f_{n-1}} Y_{n-2} \cdots \rightarrow Y_1 \xrightarrow{f_1} Y_0 = Y$$

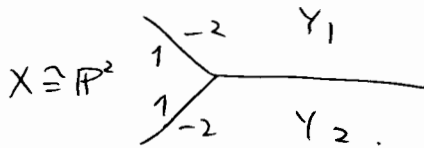
0 次の条件を満たす:

- (1) f_i は \mathcal{O}_i のある特異ファイバーに自乗する素因子 D_i を、点 P_i につなぐ,
- (2) $-K(\mathcal{O}_i)|_{D_i}$ は ample であり、
 $\text{rk}(\text{Pic}(\mathcal{O}_i) \otimes \mathbb{Q}) \rightarrow \text{Pic}(D_i) \otimes \mathbb{Q} = 1$,
- (3) X のある \mathcal{O}_i の特異ファイバー F の素因子 D_i であるならば、 $(X, F-X)|_X$ は高次元 log-terminal 特異点、 X の proper transform は minimal resolution.

このとき、 \mathcal{O}_i は高次元特別 terminal 特異点をもつと定義します。この定義について少し注意すると、まず、(1) の条件から帰納的に、 π から誘導される有理写像は必ずしも存在しなくてもかまいません。 (2) の条件からこれも帰納的に \mathcal{O}_i がすべて terminal 特異点のみをもつことがわかり、これが (2) の意味をもちます。 (1), (2) は、terminal 特異点に対する条件としてそれほど強くないものである (この報告集の川又氏、森氏の論文参照)。

次に特別 terminal 特異点の例を上げます。実は、これはか、ある意味で特別 terminal 特異点を特徴づけています。

例 1. $\pi: X \rightarrow \mathbb{A}^1$ を \mathbb{A}^3 の通りとせ、 F を特異ファイバーとします。以下 π の記号を使います。 $F \simeq X = Y_1 + Y_2 + Z$ という分解をもつと仮定します。ここで、 X, Y_1, Y_2 は既約で、 Z は残りです。ここで、 X は \mathbb{P}^2 の同型であり、 X, Y_1, Y_2, Z の configuration は 2 次の図のようになるとします:



$\cong \mathbb{P}^2$ — is double curve, double curves
 両方きの数はそれぞれこれらの double curve を含む素因子
 (= 既約曲面) 内での交点 数 であるから、

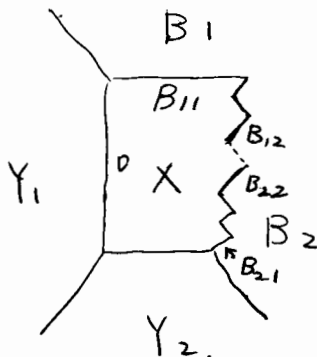
つまり、言葉で書けば、 X は、 Y_1, Y_2 との 2 交わり
 の交わりは \mathbb{P}^2 の line 上、 Y_1, Y_2 内では X の決める
 double curve は -2 の自己交点 数 である。

このとき、 X の contraction は、特別 terminal
 特異点 である。これは容易に check できる。

これをまた、orbifold type の特異点 と定義する。
 つまり、例 1 の特異点 は、orbifold type である。
 次 = 帰納的 に 次 の よう に orbifold type を 定義 する。

例 2. $F = B_1 + B_2 + X + Y_1 + Y_2 + Z$ である。 F の 分解 で
 次 の よう な もの と する:

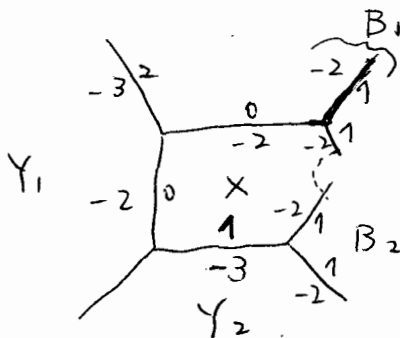
B_1, B_2 は、orbifold type の 特異点 を 定義 し、
 X, Y_1, Y_2 は 既約、 Z は 残り と する、また、 B_1, B_2 、
 X, Y_1 と Y_2 の 配列 は、次 の よう である:



$\cong \mathbb{P}^2$, ... 是 $B_2 \neq 0$ のとき, (-1) curve ($B_2 = 0$ のとき, 0 -curve),

言葉で書けば, B_1 は, X と Y_1 にのみ交わり, B_2 は X と Y_2 に交わり, X は 有理曲面 Σ である ruling に対して, fibers にのみ交わり (-1) curve である高直 1 本とします. $\Sigma = \Sigma'$, $Y_1' = Y_1/X$, $Y_2' = Y_2/X$ $B_1' = B_1/X$, $B_2' = B_2/X$ とおけば, Y_1' は Σ' の ruling に対する fibers, Y_2' は section. B_1' と B_2' は 帰納的に, linear chain であることがわかります, Σ' は Σ の blow up, B_1' (resp. B_2') は 二つの 端成分 B_{11} , B_{12} (resp. B_{21} , B_{22}) を含む. $\Sigma = \Sigma'$, B_{11} は Y_1 と交わり, B_{21} は Y_2 と交わりとします. B_{11} と B_{12} は section Σ' , Y_2' とは交わりません, $B_1' - B_{11}$ と B_2' と (-1) curve である. X の ruling に対する 特異ファイバーを構成し, (-1) curve は B_{12} と B_{22} に交わり.

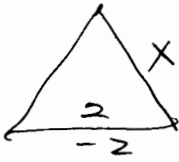
この場合, $B_1 + B_2 + X$ は 特別 terminal 特異点 になります. Σ を orbifold type の 特異点 とします. 以下の例を書いておきます.



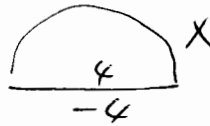
次に, nod type の 特異点 を 定義 します.

例 3. $F = Y + X + Z$ の 3 次元 分解 Σ , X は $\mathbb{P}^1 \times \mathbb{P}^1$ の \mathbb{P}^2 Σ , X は Y のみと交わり,

$\mathbb{P}^1 \times \mathbb{P}^1$ のとき double curve は, 自己交点数 2 を持つ非特異有理曲線, \mathbb{P}^2 のときは, conic.



Y

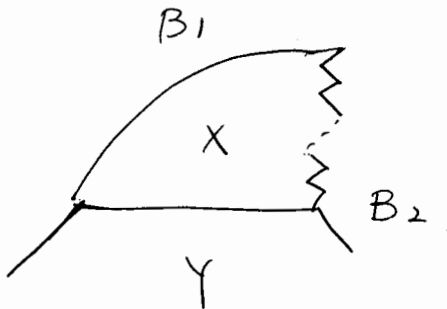


Y

$n \geq 1$ とき, X は特別 terminal sing を定義する, conic type のときと同様に, 帰納的に, nodal type を定義する. 下の例の特異点は nodal type である.

例 4. $F = B_1 + B_2 + X + Y + Z$ の二次の因子分解とする:

- (i) B_1, B_2 は conic type の特異点を定義し, X は有理曲面で, ある ruling に沿って, (1) curve を高々一本しかかきえないものとする,
- (ii) B_1, B_2, X, Y の配列は二次の通り,



すなわち, $B'_1 = B_1 / X, B'_2 = B_2 / X, Y' = Y / X$ とおけば, Y' は n ruling に沿って, section となり, B'_1 の Y' 交わる component (曲線) が n 本の section であり, B'_1 の残り B'_2 と (1) curve が特異点である.

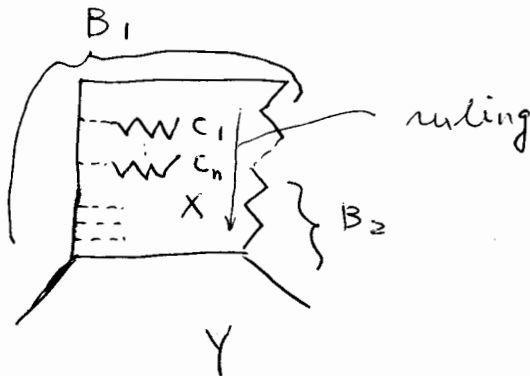
補成分, (-1) curve 等, B_1, B_2 の edge component と交わる.

よって, $B_1 + B_2 + X$ の contraction は特別 terminal, 特異点, となり得る. \Rightarrow red type の w と定義する.

例 5. $F = B_1 + B_2 + X + Y + C_1 + \dots + C_n + Z$
 $Z = \text{fixed part}$ の分解とする:

i) B_1, B_2 は red type の特異点を定め, C_1, \dots, C_n は red type の特異点とし, $C_1/X, \dots, C_n/X$ は cyclic 有理 2 重点の minimal resolution とし,

ii) $B_1 + B_2 + X + Y + C_1 + \dots + C_n$ の配列は次の通り:



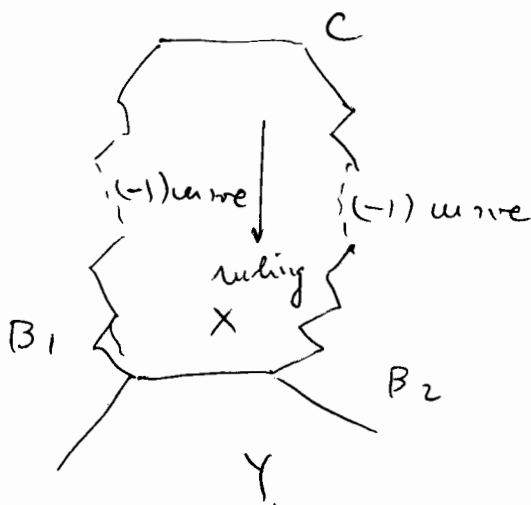
$Y' = Y/X$, $B_1' = B_1/X$, $B_2' = B_2/X$, $C_i' = C_i/X$
 とおく. B_1, B_2 と X, Y と交わる. X は B_1 の ruling である. B_1' の edge component と Y と交わる曲線と C_1, \dots, C_n と (-1) curve 等 なる fiber を Γ とする. Γ は $\Gamma \cap \Gamma$ の (-1) curve 等 B_1' の edge component と交わることを示す. \Rightarrow red type の edge component と交わる. B_1' の component は section とする, \Rightarrow red

Component $\in \mathbb{A}^1(-1)$ curve $\in B_2$ かつ B_1 の fiber を構成する。 B_1 の B_1 の edge component $\in (-1)$ curve があり、 B_2 の edge component $\in Y$ と交わらない。 Y は section. ~~curve~~

このとき、 $B_1 + B_2 + C_1 + \dots + C_n + X$ は、 特別 terminal 特異点を定義し、 \in 特異点 \in rod type の特異点を定義する。

例6. $F = B_1 + B_2 + C + X + Y + Z$ $\in \mathbb{A}^1$ の分解として、 ~~特異点~~

- (i) B_1, B_2 は unbel type の特異点、
- (ii) C は rod type の特異点、
- (iii) $B_1 + B_2 + C + X + Y$ の西記号は $\in \mathbb{A}^1$ 同値!



言葉での説明は略す。

~~特異点~~ \in の場合も、 $B_1 + B_2 + C + X$ の contraction は、 特別 terminal sang. となり得る。

例3~例6までの特異点の"nod typeの特異点"です。最後に、exceptional typeの特異点を定義します。Pを特別 terminal 特異点で、Pは double curve に含まれるとします。このとき、Pが"有理2重点で、cyclic sing. であるとするとき、Pは exceptional typeの特異点と呼びます。次の命題の"定理の証明のうちの key"になります。

命題、特別 terminal sing. は、cubed type, nod type, exceptional typeの特異点となる、すなわち、ある resolution π とすると、 π^* の $\pi^{-1}(P)$ と一致する、

証明の方針は、前の報告と同様で"日谷し、以下域、奇で"お話しした"この補足等"をしてみたいと思えます。

§2. V を射影代数多様体とします。 V は高々 terminal 特異点のみを許すとします。 極小モデルの存在がわかりました、次の2つの case を V の研究に帰着させます(= 知られている"又氏の論文を参照してください) :

- Case 1. $-K_V$ が ample
- Case 2. K_V が nef.

Case 1 については予想されることは、次です
 予想1. $-K_V$ が ample であるならば、 V は rationally connected, すなわち、 V の任意の上点は rational curve の chain で結ばれる。

この予想に関して, 次の定理があります.

定理(森, Kollar) V が "非特異" であれば, V の任意の点を通る有理曲線が存在する.

Case 2 について予想 2 を与えることは,
 予想 2, ある $m > 0$ が存在して, mK_V が
 global sections で生成される.

この予想に関して, 知られていないことは, 非常に多く,
 一般次元では次の "Kawamata の定理" について,
 定理. case 2 の仮定のもとで,

(i) K_V が "numerically trivial".

(ii) $K_V^n > 0$ $n = \dim V$

が成り立つことを満たせば, 予想 2 は正しく, K_V の
 標数は 0 とする.

興味ある問題としては標数が正の時, この定理
 は成り立つのかも残っています, また予想 2 の
 弱形式の次もまだ解けていません.

予想 2': case 2 の仮定のもとで, $K(V) \geq 0$,
 ならば K は 1 年次元です.

この予想 2' について, 3次元の場合に, $\chi(V, \mathcal{O}_V) \leq 0$
 がわかれば, 予想 2' が OK, ということが, わかっ
 ています.